

(388) 10Cr-2Mo-V-Nb鋼のクリープ破断強度におよぼす熱処理の影響

東京大学工学部 ○朝倉健太郎 田中清文 藤田利夫

1. 緒言: 10Cr-2Mo-V-Nb鋼は優れた高温強度を持つが、延性、韌性、溶接性および加工性の一層の向上が望まれている。本研究は前報の結果に基づいて、 $800^{\circ}\text{C} \times 1\text{ hr}$ の高温焼もどしを行ない、クリープ破断特性、常温の機械的性質を検討した。さらにこの鋼の炭化物の析出挙動を詳しく調べ、高温強度に対する炭化物の影響を明らかにすることを目的とした。

2. 実験方法: 表1に供試材の化学成分および熱処理を示す。比較のために従来の代表的な熱処理である892-Rを列記する。この3種の焼ならし温度とクリープ破断試験、常温引張試験と衝撃試験を行なった。また表1の熱処理後700℃で焼もどした試料と、クリープ破断材の透過電顕観察、析出物の電子線回折による同定および電解抽出残渣のX線回折、E.P.M.A.による分析を行なった。

3. 実験結果: 引張試験、クリープ破断試験の結果を、表2、図1に示す。800℃焼もどしの特徴は、低温長時間側での破断強度は低いが、高温長時間側での強度の低下が少ないことにある。したがって低応力では892-Rと同程度あるいはそれ以上の破断強度を持つ。常温の機械的性質も大幅に改善され、800℃焼もどし材は良好な加工性を持つことが十分期待できる。加工性および高温強度を考えあわせると、892-3Bが現段階では最も実用化に有利と思われる。

電解抽出残渣の全電解量に対する重量分率および892-3Aの残渣の主要元素をE.P.M.A.で分析した結果を図2に示す。X線回折の結果によると焼もどし直後から M_{23}C_6 、 M_6C が安定して存在しており、図2において Fe 、 Mo が増加する100hr前後から Fe_2Mo の析出が見られる。800℃焼もどしが析出物の挙動におよぼす影響は次の通りである。(1)焼もどし中に反応が進み、以降の析出物はきわめて安定である。(2)焼もどし中に Cr_{23}C_6 が多く析出し、 C が減少するため、他の M_{23}C_6 の析出が遅れ、長時間側の強度が安定になる。(3)(2)の結果、フェライトマトリクス中の Mo が増加し Fe_2Mo が析出しやすくなるが、長時間側に対する影響は、 $\text{Fe}-\text{Mo}$ は大きくなく、むしろ Fe_2Mo の再溶解、 Mo 炭化物の析出の過程が重要と考える。

文献 1) 朝倉・藤田: 鉄と鋼, 64(1978) p.869

表1 供試材の化学成分(wt%)と熱処理

| C | Si | Mn | Cr | Mo | V | Nb | N |
|--------|--|-------|-------|------|-------------------|-------|-------|
| 0.050 | 0.291 | 0.563 | 10.57 | 2003 | 0.092 | 0.057 | 0.027 |
| 熱処理 | | | | | | | |
| 焼ならし | | | | 焼もどし | | | |
| 892-3A | $950^{\circ}\text{C} \times 1/2\text{hr} \rightarrow \text{A.C.}$ | | | | 800°Cx1 hr → A.C. | | |
| 892-3B | $1050^{\circ}\text{C} \times 1/2\text{hr} \rightarrow \text{A.C.}$ | | | | 800°Cx1 hr → A.C. | | |
| 892-3C | $1150^{\circ}\text{C} \times 1/2\text{hr} \rightarrow \text{A.C.}$ | | | | | | |
| 892-R | $1050^{\circ}\text{C} \times 1/2\text{hr} \rightarrow \text{A.C.}$ | | | | 700°Cx1 hr → A.C. | | |

表2 常温引張試験(22°C)の結果

| | 0.2%PS(kg/mm ²) | UTS(kg/mm ²) | Elongation(%) |
|--------|-----------------------------|--------------------------|---------------|
| 892-3A | 42.8 | 61.7 | 31.1 |
| 892-3B | 45.3 | 63.0 | 28.7 |
| 892-3C | 46.5 | 62.5 | 23.8 |
| 892-R | 62.7 | 75.2 | 19.9 |

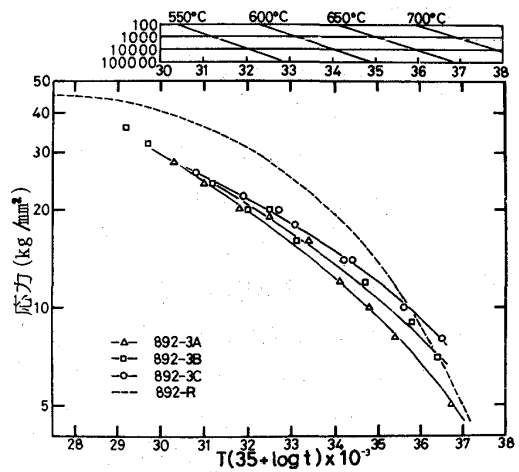


図1 マスタークリープ曲線

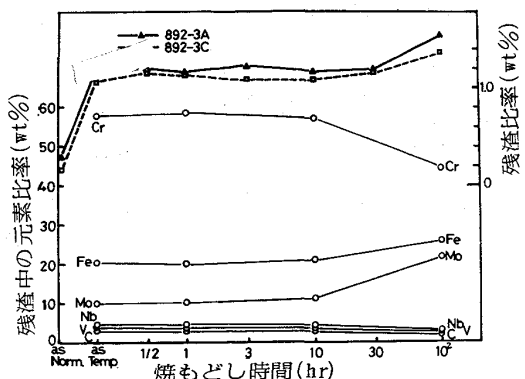


図2 電解抽出残渣と試料の重量比およびE.P.M.A.による分析結果